## СТАТИСТИЧЕСКИЙ АНАЛИЗ ФОНОВОГО ПОЛЯ, ЗАРЕГИСТРИРОВАННОГО ЛАЗЕРНЫМИ ДЕФОРМОГРАФАМИ

## <u>Иванов М.П.</u><sup>1</sup>, Долгих С.Г.<sup>1</sup>, Пелиновский Е.Н.<sup>2</sup>, Талипова Т.Г.<sup>2</sup>

<sup>1</sup>Тихоокеанский океанологический институт им. В.И. Ильичева, г. Владивосток <sup>2</sup>Институт прикладной физики им. акад. Гапонова – Грехова А.В., г. Нижний Новгород ivanov.mp@poi.dvo.ru

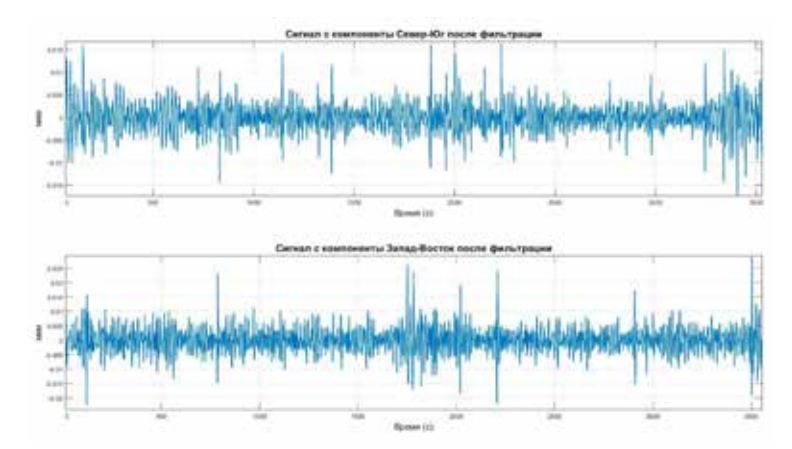
Фоновое микросейсмическое поле Земли в диапазоне периодов 2–20 с формируется преимущественно под действием морских волн и атмосферных процессов [1–4]. Его характеристики позволяют судить о взаимодействии геосфер в системе «атмосфера-гидросфера-литосфера» [5].

Измерения проводились на берегу Японского моря с использованием двух лазерных деформографов, ориентированных по направлениям Север-Юг и Запад-Восток и имеющих длины измерительных плеч 52,5 и 17,5 м соответственно [6]. Для анализа выбраны 16 фрагментов фоновой записи по одному часу, зафиксированных в спокойные погодные условия. Обработка данных включала спектральный и вероятностно-статистический анализ.

Записи с деформографов подвергались полосовой фильтрации (0,05–0,5 Гц) с последующим восстановлением сигнала и нормировкой к длине 1 м [7]. Статистическая обработка включала вычисление среднего значения, стандартного отклонения, коэффициента асимметрии и эксцесса по стандартным формулам [8]. Форма распределения оценивалась по сравнению с нормальным законом и рядом Грамма–Шарлье [9]. На рисунке 1 показан пример сигнала после фильтрации.

Для оценки моделей распределения использовался процент объяснённой дисперсии. Аппроксимация рядом Грамма—Шарлье в большинстве случаев демонстрировала более высокую точность (до 99,5%). Плотности вероятности нормированных значений сигнала, зарегистрированного с двух деформографов, представлены на рисунке 2. Данный график позволяет визуально оценить откло-

93	1 Секция
) )	 т сенщии



 $Puc.\ 1.$  Сигнал после фильтрации полосовым фильтром для двух компонент деформографов

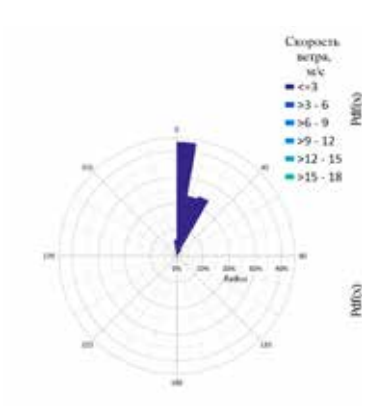
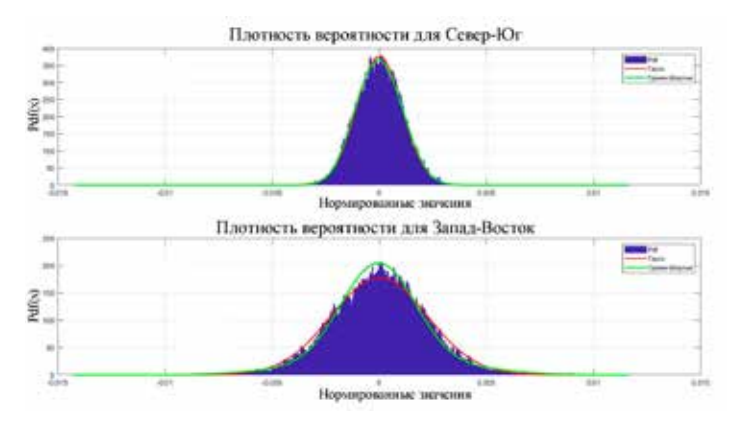


Рис. 2. Плотность вероятности нормированных значений сигнала, зарегистрированного с двух деформографов, ориентированных в направлениях Север-Юг и Запад-Восток зарегистрированного 12.07.2019 в период времени с 20:09:23 по 21:09:23



1 Секция \_\_\_\_\_\_\_ 94

нения от нормального распределения и точность аппроксимации рядом Грамма-Шарлье.

Анализ показал, что для компоненты Север-Юг положительная асимметрия наблюдалась в 9 из 16 фрагментов, эксцесс — преимущественно положительный (15 из 16). Для компоненты Запад-Восток положительная асимметрия — в 8 случаях, эксцесс положителен во всех случаях. Также отметим наличие корреляции между  $\sigma$  по двум компонентам (коэффициент детерминации  $R^2 = 0.9$ ), что может свидетельствовать о единой природе фоновых воздействий (ветровая нагрузка, морская зыбь) [10]. Отклонения распределений от нормальных, особенно положительные эксцессы, указывают на наличие редких, но мощных колебаний — потенциально связанных с экстремальными морскими событиями [11].

Проведённый статистический анализ фонового микросейсмического сигнала в диапазоне 0,05–0,5 Гц показал, что он в среднем близок к нормальному распределению, но зачастую имеет небольшую положительную асимметрию и эксцесс. Наилучшее приближение распределений достигается с использованием ряда Грамма–Шарлье. Эти результаты важны для построения моделей фильтрации шума и выявления отклонений, связанных с геофизическими процессами.

Работа выполнена при частичной финансовой поддержке гранта № 075-15-2024-642 «Исследование процессов и закономерностей возникновения, развития и трансформации катастрофических явлений в океанах и на континентах методами сейсмоакустического мониторинга».

## Литература

- 1. Долгих Г.И., Долгих С.Г., Чебров В.Н., Шевченко Ю.В. Геофизический полигон «Мыс Шульца» // Вестник ДВО РАН. 2010. № 5. С. 165-169.
- 2. Beucler E., Mocquet A., Schimmel M., Chevrot S., Quillard O., Vergne J., Sylvander M. Observation of deep water microseisms in the North Atlantic Ocean using tide modulations // Geophysical Research Letters. 2015. 42. P. 316-322.
- 3. Ardhuin F., Stutzmann E., Schimmel M., Mangeney A. Ocean wave sources of seismic noise // Journal of Geophysical Research: Oceans. 2011. 116. C09004.
- 4. Tanimoto T., Anderson A. Seismic noise between 0.003 Hz and 1.0 Hz and its classification // Progress in Earth and Planetary Science. 2023. 10, 56.
- 5. Dolgikh G.I., Dolgikh S.G., Chupin V.A., Davydov A.V., Mishakov A.V. Remote seismoacoustic monitoring of tropical cyclones in the sea of Japan // Remote Sensing. 2023. T. 15. № 6. C. 1707.

- 6. Долгих Г.И., Валентин Д.И., Долгих С.Г., Ковалёв С.Н., Корень И.А., Овчаренко В.В., Фищенко В.К. Применение лазерных деформографов вертикальной и горизонтальной ориентаций в геофизических исследованиях переходных зон // Физика Земли. 2002. № 8. С. 69-73.
- 7. Долгих С.Г., Будрин С.С., Плотников А.А. Лазерный измеритель вариаций давления гидросферы с механической системой компенсации температурного воздействия // Оксанология. 2017. Т. 57. № 4. С. 663-666.
- 8. Montgomery Douglas C., Runger George C. Applied Statistics and Probability for Engineers // 5th Edition. Wiley. 2010. 784 p.
- 9. Сайфуллин Р.Т., Бочкарев А.В. Вычисление коэффициентов асимметрии и эксцесса хроматографических пиков с применением функций Чебышева-Эрмита и рядов Грама-Шарлье // Вестник Самарского государственного технического университета. Серия: Технические науки. 2020. Т. 28. № 4. С. 89-105.
- 10. Anthony R.E., Aster R.C., McGrath D. Links between atmosphere, ocean, and cryosphere from two decades of microseism observations on the Antarctic Peninsula // Journal of Geophysical Research: Earth Surface. 2017. T. 122. № 1. C. 153-166.
- 11. Слюняев А.В., Пелиновский Д.Е., Пелиновский Е.Н. Морские волны-убийцы: наблюдения, физика и математика // Успехи физических наук. 2023. Т. 193. N 2. С. 155-181.

1 Секпия	96	
Conqui		<del></del>